

Wykład 9. Szereg Fouriera. Charakterystyki częstotliwościowe.

- Wprowadzenie do szeregu Fouriera
- Analiza obwodów liniowych prądu okresowego
- Charakterystyki częstotliwościowe

Podstawy metody wskazowej – przypomnienie

W stanie ustalonym układu *liniowego* prądu sinusoidalnego...

...wszystkie napięcia i prądy są przebiegami sinusoidalnymi.

Sinusoidalne pobudzenie układu SLS daje sinusoidalną odpowiedź → kluczowa rola sygnałów sinusoidalnych.

Wzajemnie jednoznaczne przyporządkowanie...

...sygnałowi sinusoidalnemu *liczby zespolonej* (wskazu).

$$x(t) = X_m \cos(\omega_1 t + \varphi) \quad \longleftrightarrow \quad X = X_m e^{j\varphi}$$

„Matematyczne” odtwarzanie sygnału na podstawie wskazu:

$$x(t) = \frac{X}{2} e^{j\omega_1 t} + \frac{X^*}{2} e^{-j\omega_1 t}$$

Dowolny przebieg sinusoidalny...

...jest sumą *dwóch* sprzężonych *wirujących* „półwskazów”.

Graficzna interpretacja wskazów – przypomnienie

Graficzna interpretacja szeregu Fouriera

Podstawy analizy widmowej (Fouriera) sygnałów

Dowolny przebieg T -okresowy...

$$\omega_1 = 2\pi/T$$

... jest sumą nieskończenie wielu sprzężonych par wektorów, *wirujących* na płaszczyźnie zespolonej z okresami T/k , $k \in \mathbb{N}$.

Szereg Fouriera (w tzw. postaci zespolonej):

$$x(t) = \underbrace{X^{(0)}}_{\substack{\text{składowa} \\ \text{stała}}} + \sum_{k=1}^{\infty} \underbrace{\left(X^{(k)} e^{jk\omega_1 t} + X^{(k)*} e^{-jk\omega_1 t} \right)}_{x^{(k)}(t) = 2|X^{(k)}| \cos(k\omega_1 t + \arg X^{(k)})}$$

Wzajemnie jednoznaczne przyporządkowanie...

... sygnałowi okresowemu *nieskończonego ciągu* liczb zespolonych, nazywanego *widmem* (prążkowym) sygnału.

$$x(t) \text{ } T\text{-okresowy} \quad \longleftrightarrow \quad \left\{ X^{(k)} = |X^{(k)}| e^{j \arg X^{(k)}} \right\}, \quad k = 0, 1, 2, \dots$$

$\{|X^{(k)}|\}$ – widmo amplitudowe, $\{\arg X^{(k)}\}$ – widmo fazowe.

Podstawy analizy widmowej (Fouriera) sygnałów

Dowolny przebieg T -okresowy...

$$\omega_1 = 2\pi/T$$

... jest sumą nieskończenie wielu sprzężonych par wektorów, *wirujących* na płaszczyźnie zespolonej z okresami T/k , $k \in \mathbb{N}$.

Szereg Fouriera (w tzw. postaci zespolonej):

$$x(t) = \underbrace{X^{(0)}}_{\substack{\text{składowa} \\ \text{stała}}} + \sum_{k=1}^{\infty} \underbrace{\left(X^{(k)} e^{jk\omega_1 t} + X^{(k)*} e^{-jk\omega_1 t} \right)}_{x^{(k)}(t) = 2|X^{(k)}| \cos(k\omega_1 t + \arg X^{(k)})} = \sum_{k=-\infty}^{\infty} X^{(k)} e^{jk\omega_1 t}$$

Wzajemnie jednoznaczne przyporządkowanie...

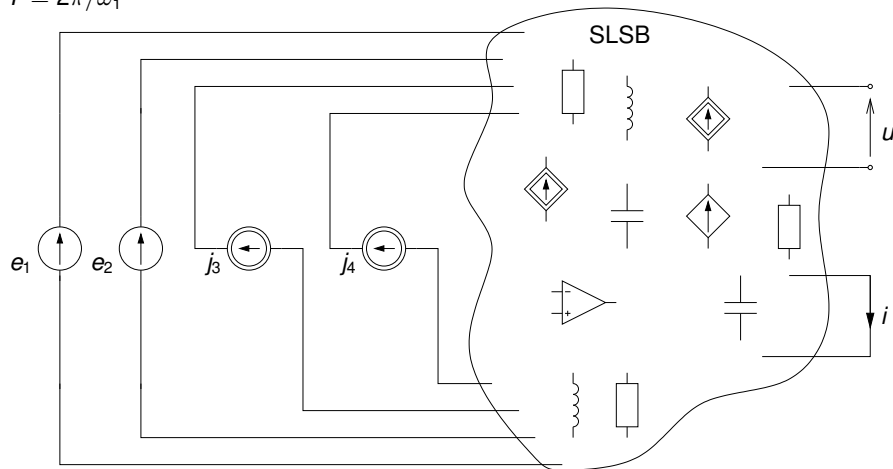
... sygnałowi okresowemu *nieskończonego ciągu* liczb zespolonych, nazywanego *widmem* (prążkowym) sygnału.

$$x(t) \text{ } T\text{-okresowy} \quad \longleftrightarrow \quad \left\{ X^{(k)} = |X^{(k)}| e^{j \arg X^{(k)}} \right\}, \quad k = 0, 1, 2, \dots$$

$\{|X^{(k)}|\}$ – widmo amplitudowe, $\{\arg X^{(k)}\}$ – widmo fazowe.

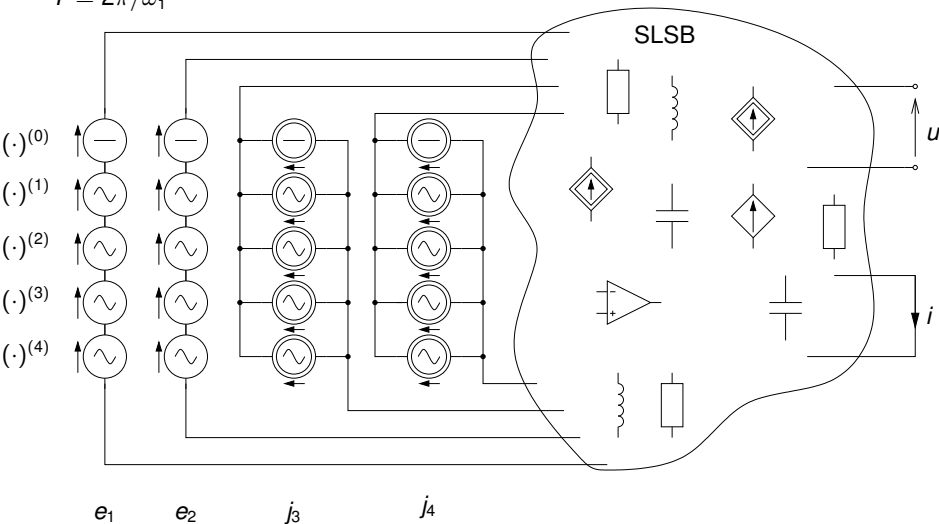
Analiza obwodów *liniowych* prądu okresowego

$$T = 2\pi/\omega_1$$



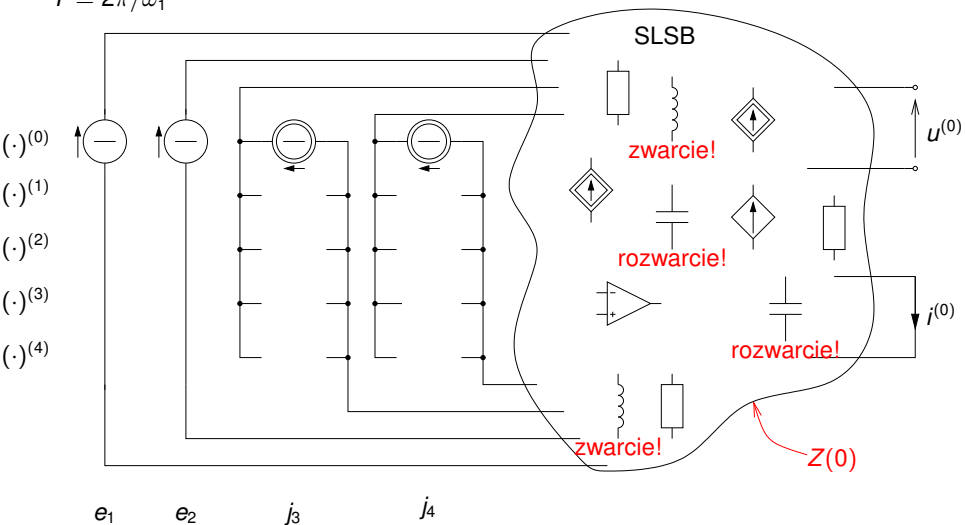
Analiza obwodów *liniowych* prądu okresowego

$$T = 2\pi/\omega_1$$



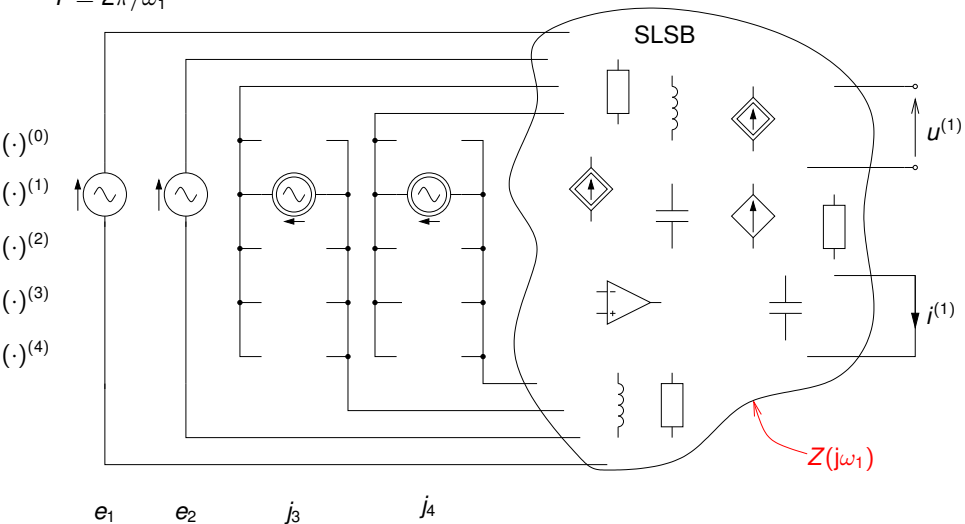
Analiza obwodów *liniowych* prądu okresowego

$$T = 2\pi/\omega_1$$



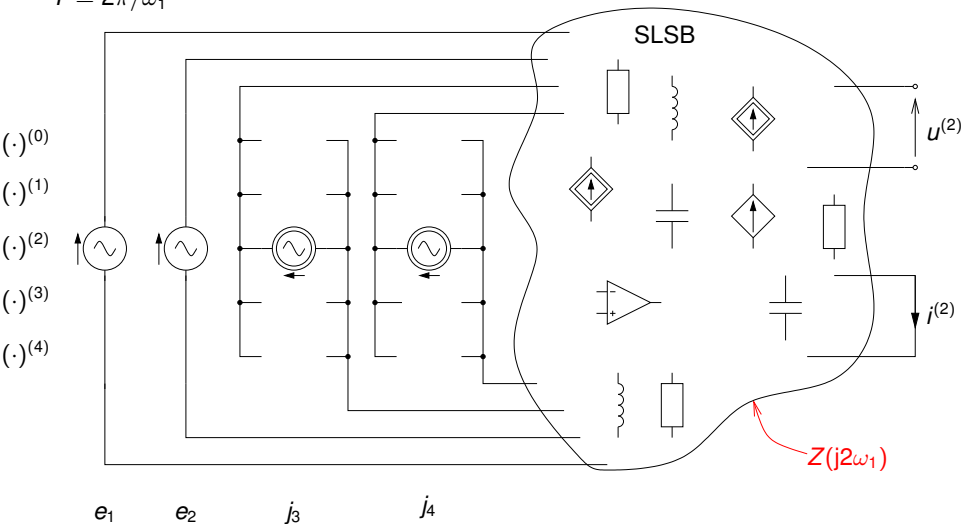
Analiza obwodów *liniowych* prądu okresowego

$$T = 2\pi/\omega_1$$



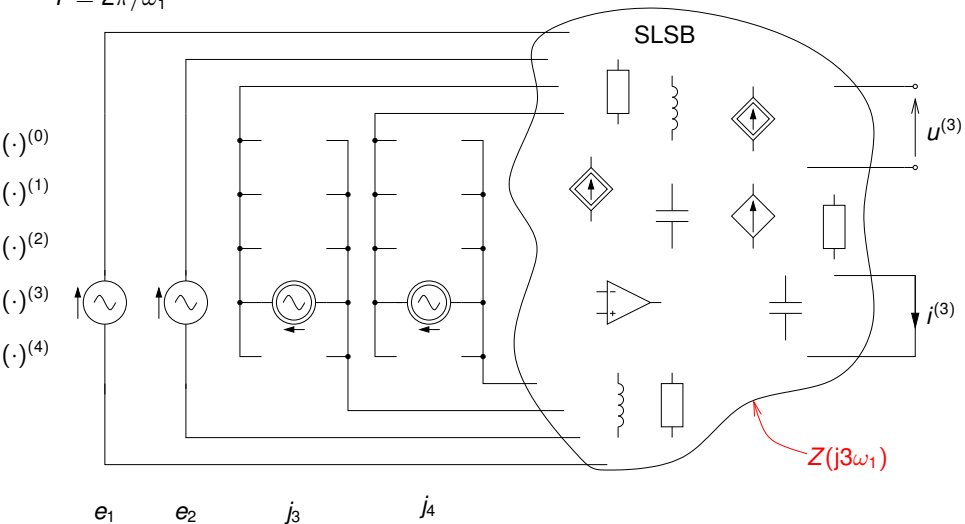
Analiza obwodów *liniowych* prądu okresowego

$$T = 2\pi/\omega_1$$



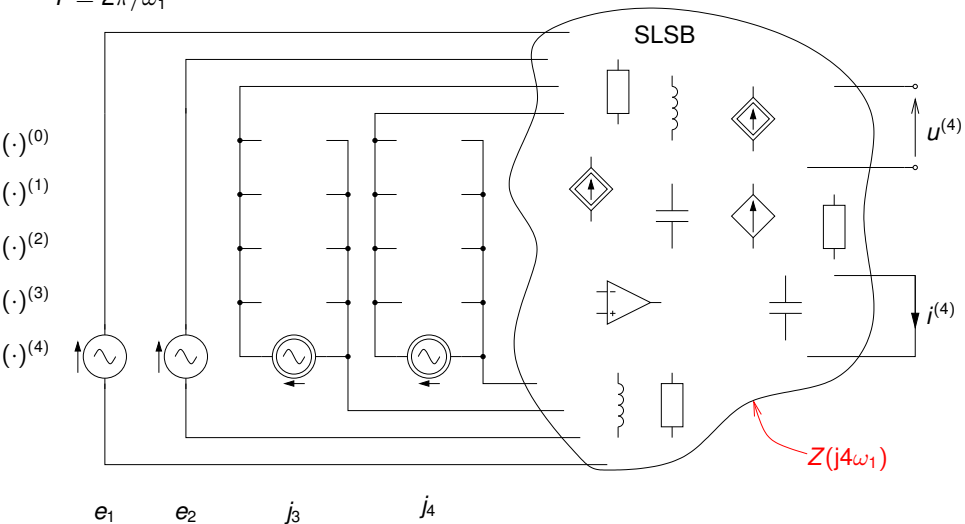
Analiza obwodów *liniowych* prądu okresowego

$$T = 2\pi/\omega_1$$



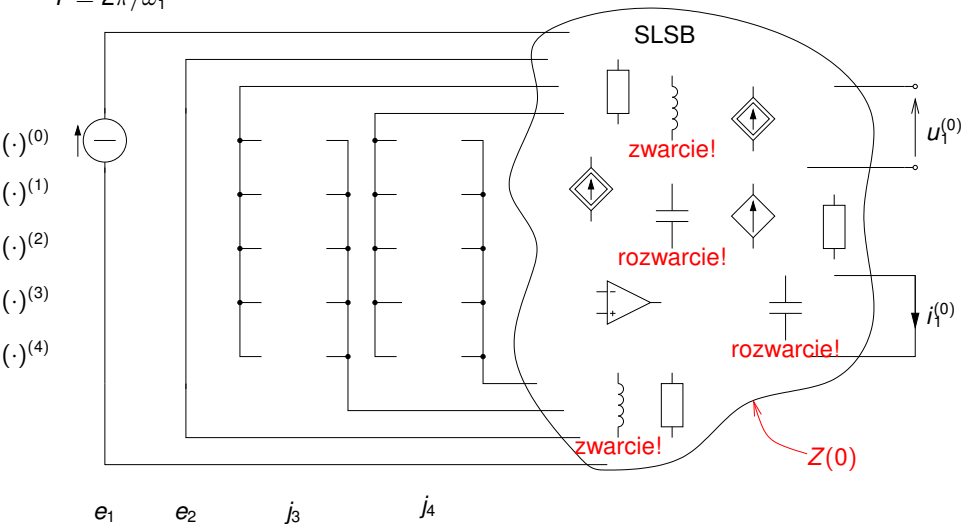
Analiza obwodów *liniowych* prądu okresowego

$$T = 2\pi/\omega_1$$



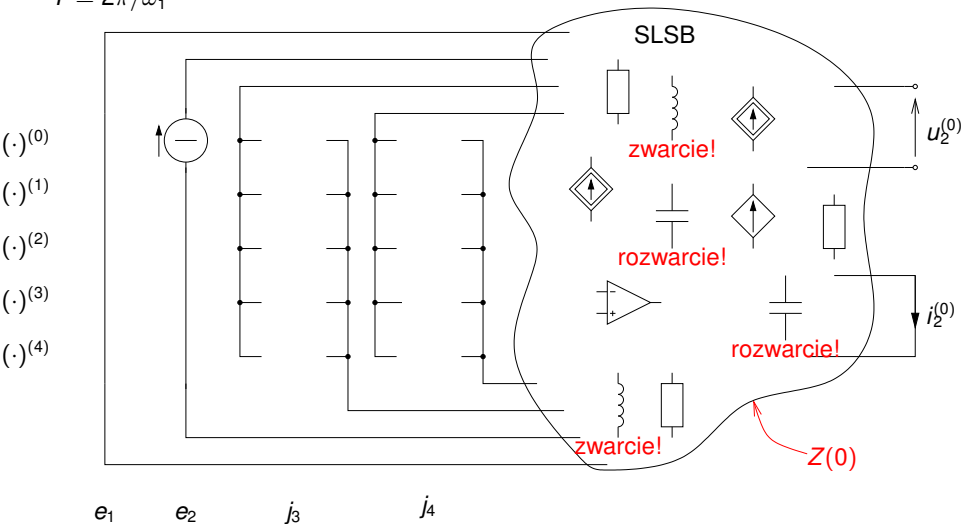
Analiza obwodów *liniowych* prądu okresowego

$$T = 2\pi/\omega_1$$



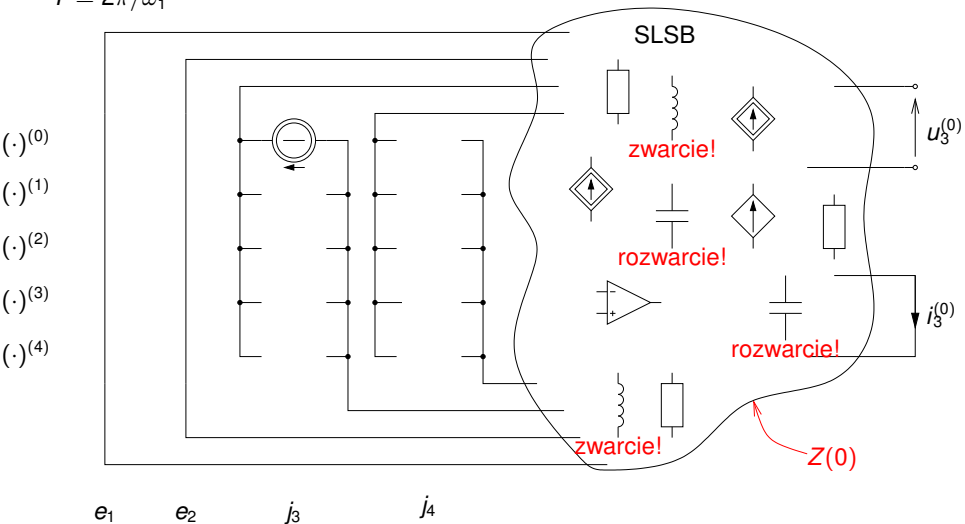
Analiza obwodów *liniowych* prądu okresowego

$$T = 2\pi/\omega_1$$



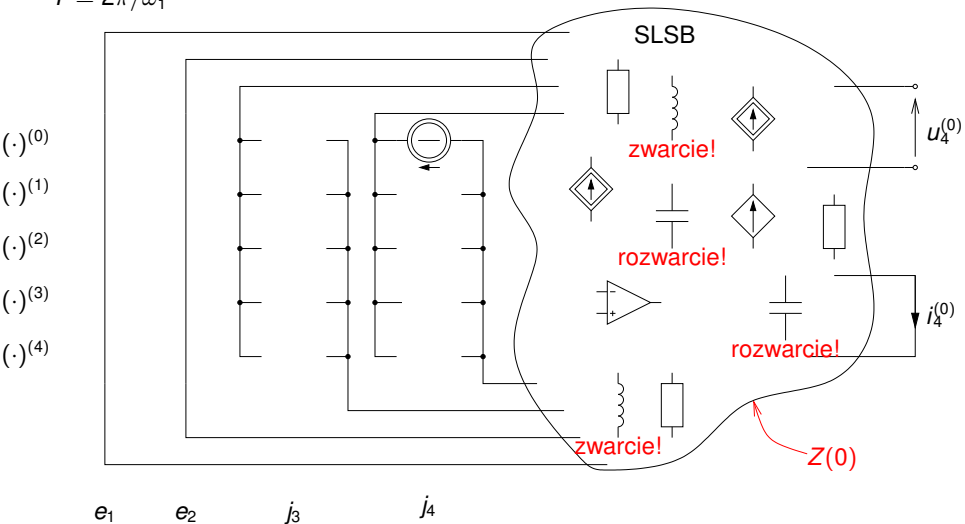
Analiza obwodów *liniowych* prądu okresowego

$$T = 2\pi/\omega_1$$



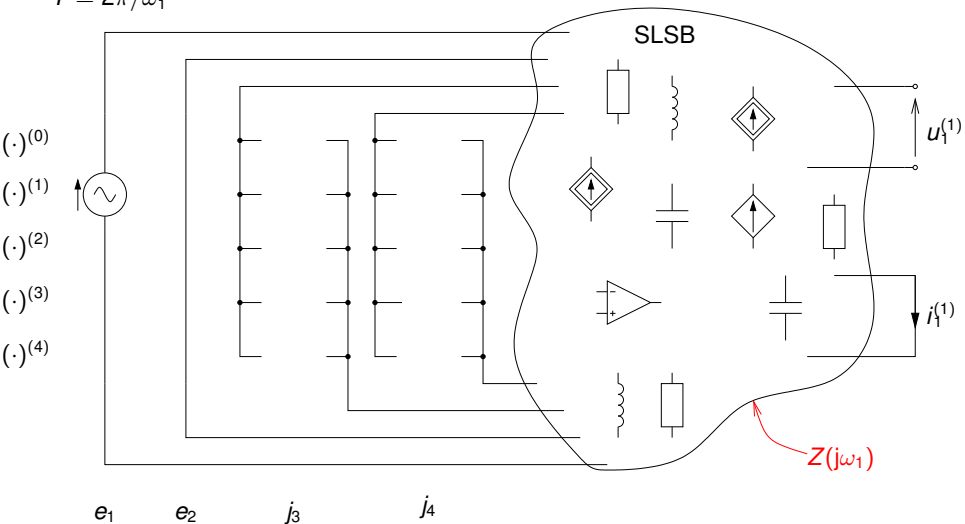
Analiza obwodów *liniowych* prądu okresowego

$$T = 2\pi/\omega_1$$



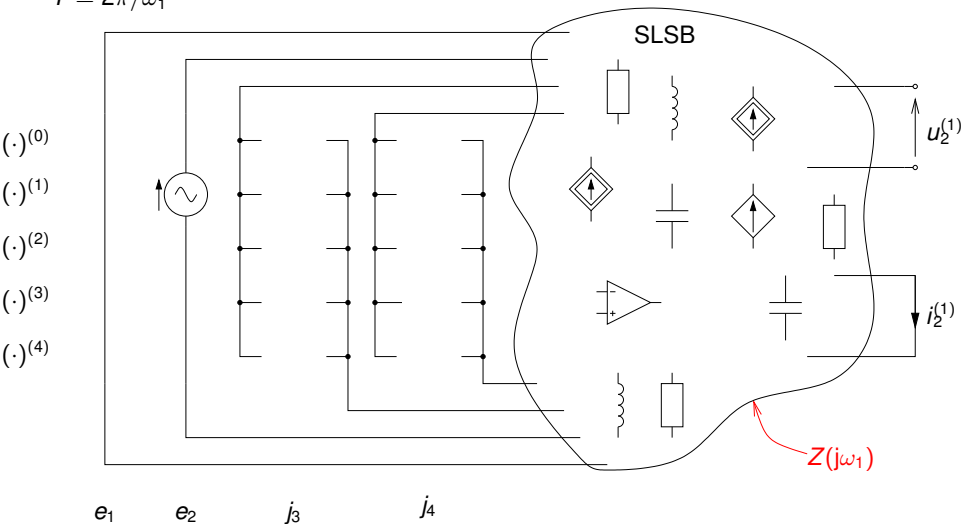
Analiza obwodów *liniowych* prądu okresowego

$$T = 2\pi/\omega_1$$



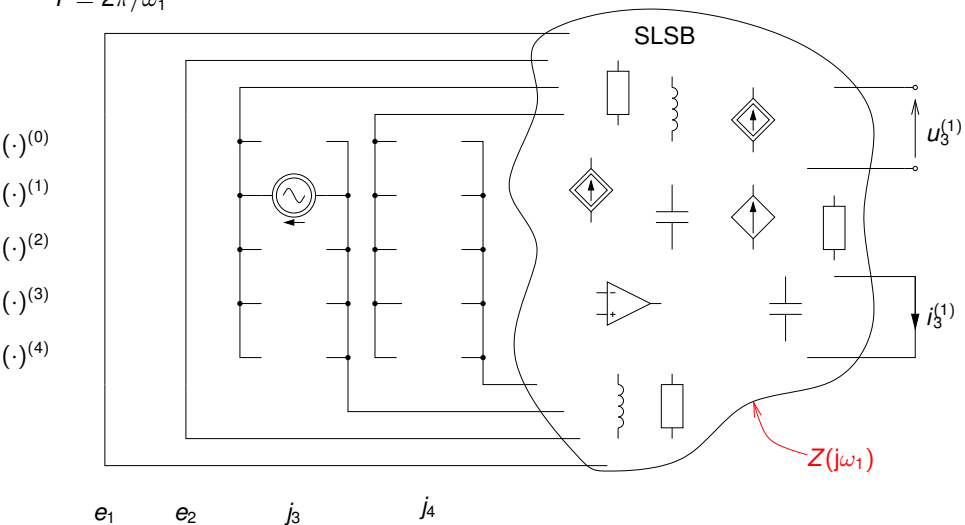
Analiza obwodów *liniowych* prądu okresowego

$$T = 2\pi/\omega_1$$



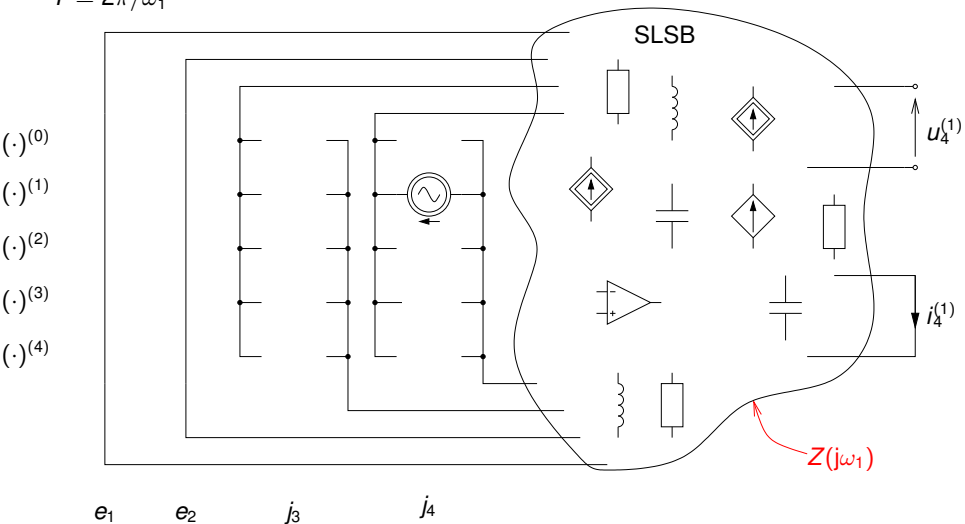
Analiza obwodów *liniowych* prądu okresowego

$$T = 2\pi/\omega_1$$



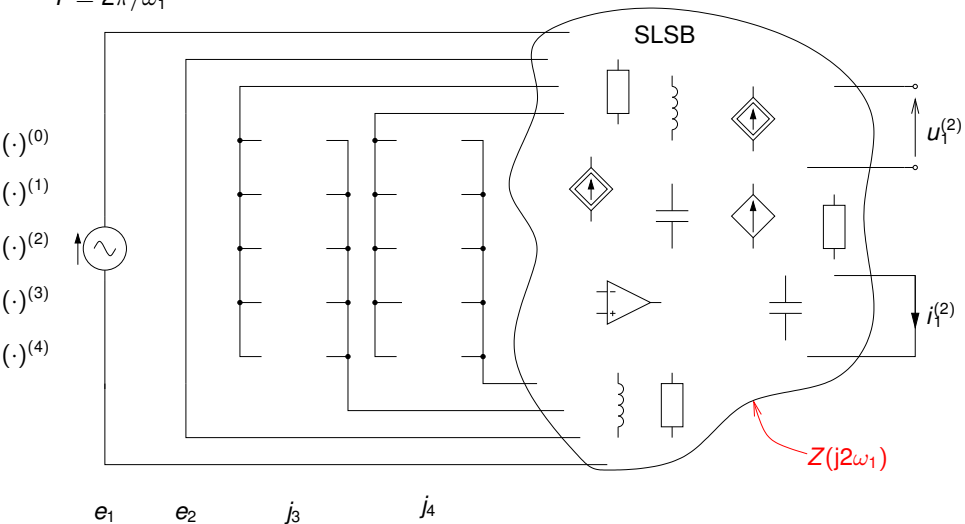
Analiza obwodów *liniowych* prądu okresowego

$$T = 2\pi/\omega_1$$



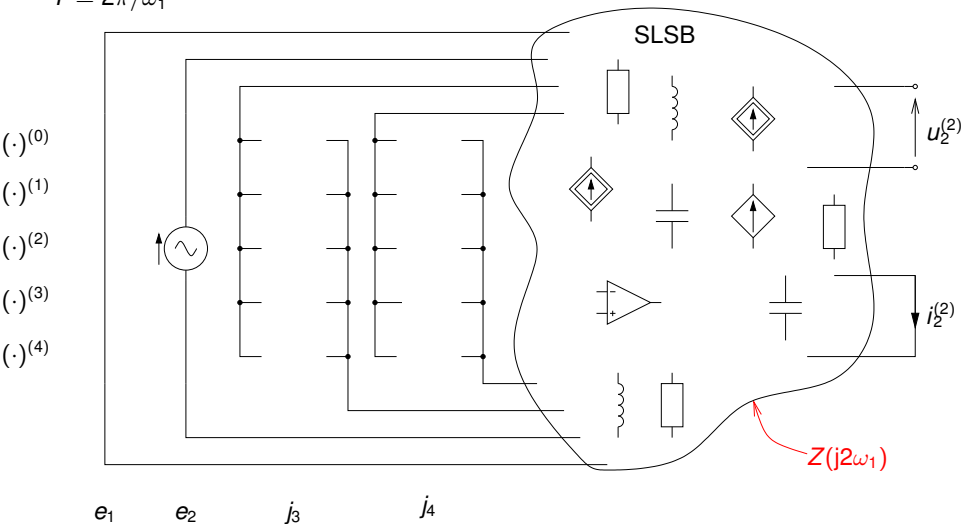
Analiza obwodów *liniowych* prądu okresowego

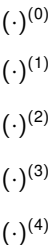
$$T = 2\pi/\omega_1$$

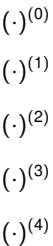


Analiza obwodów *liniowych* prądu okresowego

$$T = 2\pi/\omega_1$$

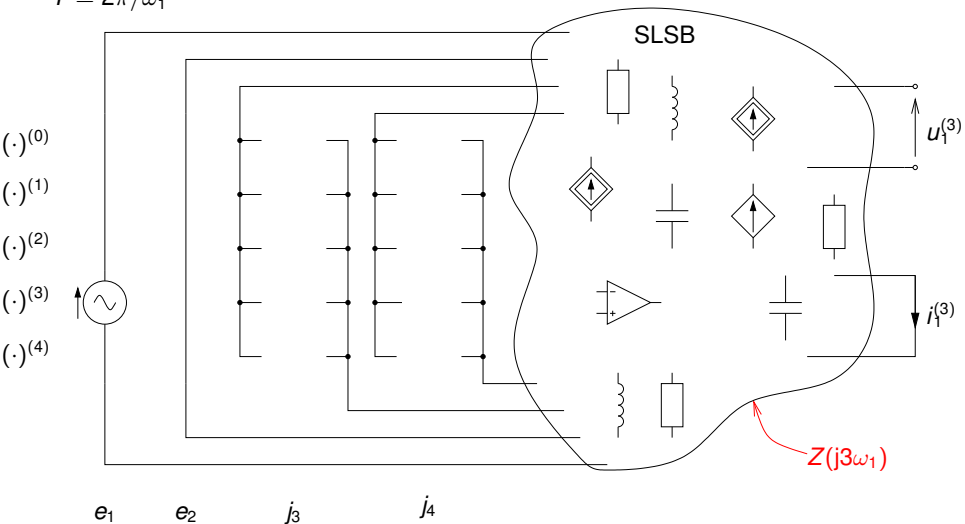


$$T = 2\pi/\omega_1$$


$$T = 2\pi/\omega_1$$


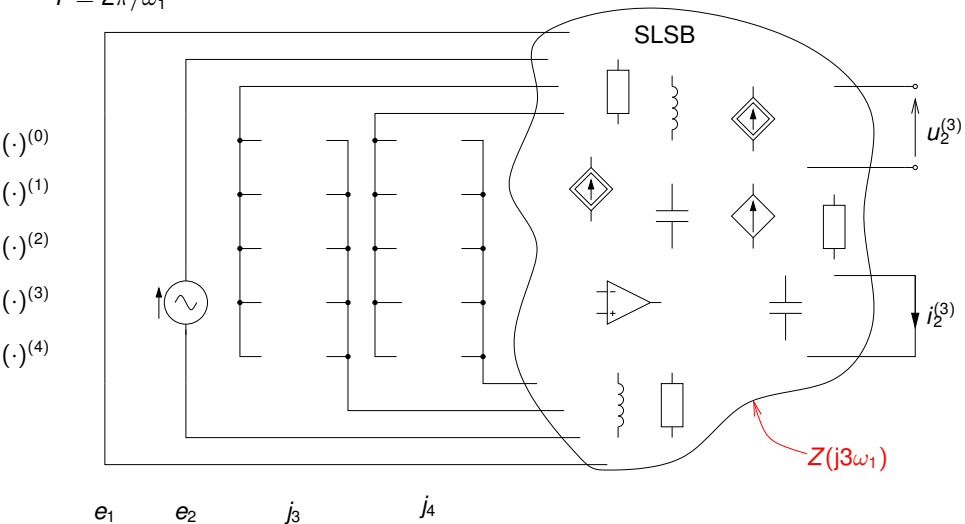
Analiza obwodów *liniowych* prądu okresowego

$$T = 2\pi/\omega_1$$



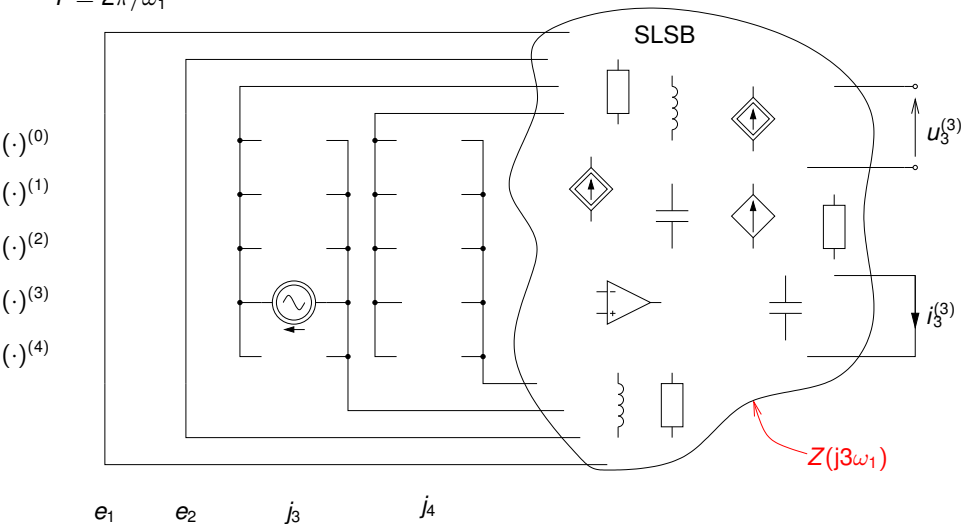
Analiza obwodów *liniowych* prądu okresowego

$$T = 2\pi/\omega_1$$



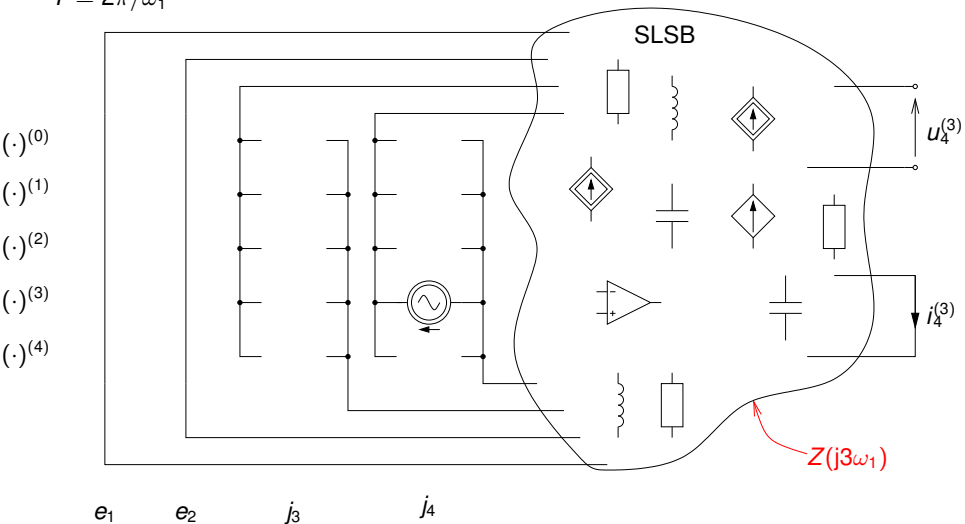
Analiza obwodów *liniowych* prądu okresowego

$$T = 2\pi/\omega_1$$



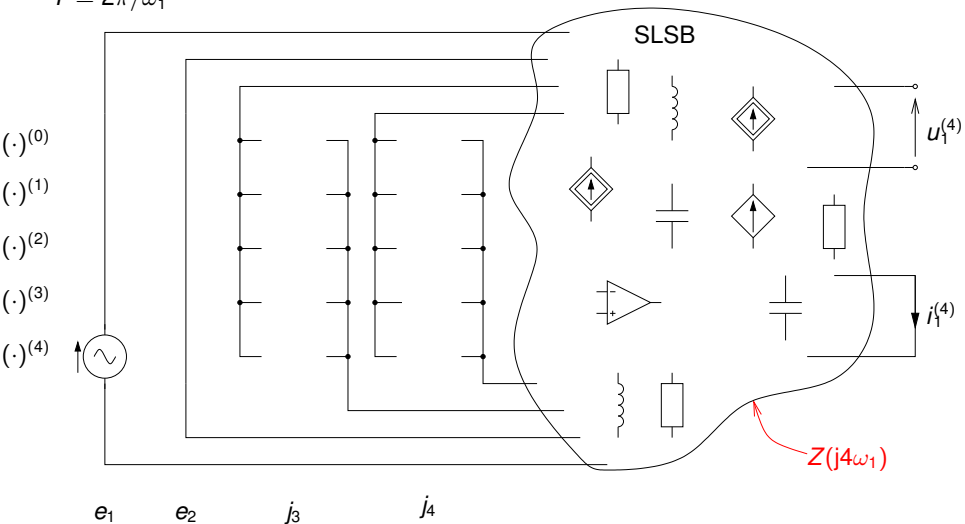
Analiza obwodów *liniowych* prądu okresowego

$$T = 2\pi/\omega_1$$



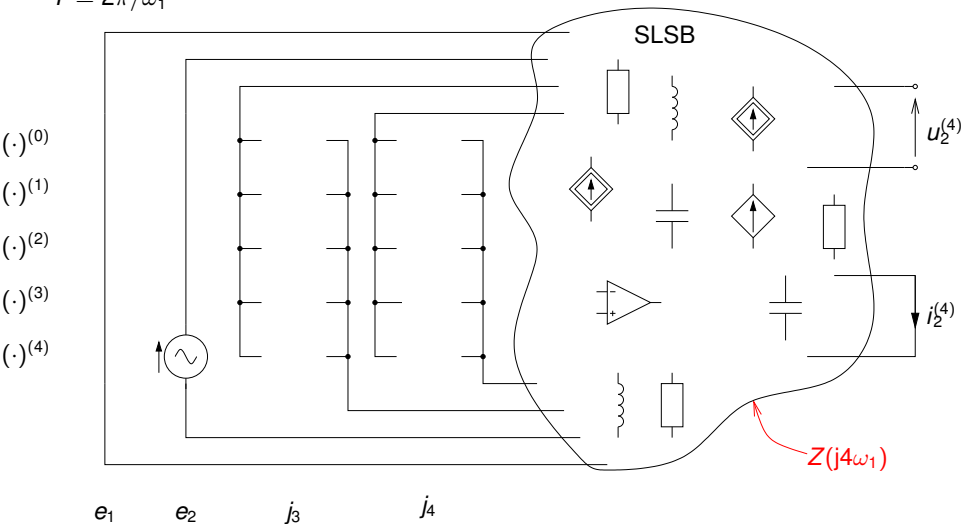
Analiza obwodów *liniowych* prądu okresowego

$$T = 2\pi/\omega_1$$



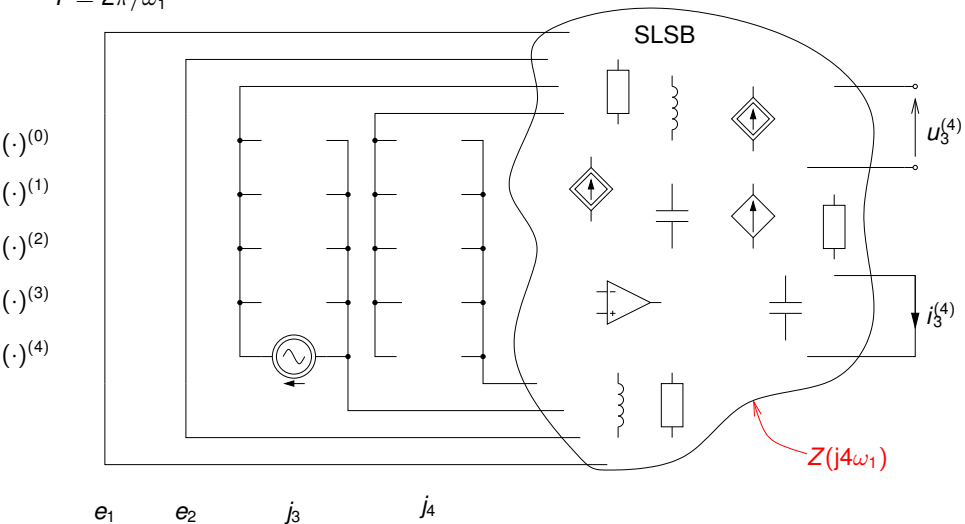
Analiza obwodów *liniowych* prądu okresowego

$$T = 2\pi/\omega_1$$



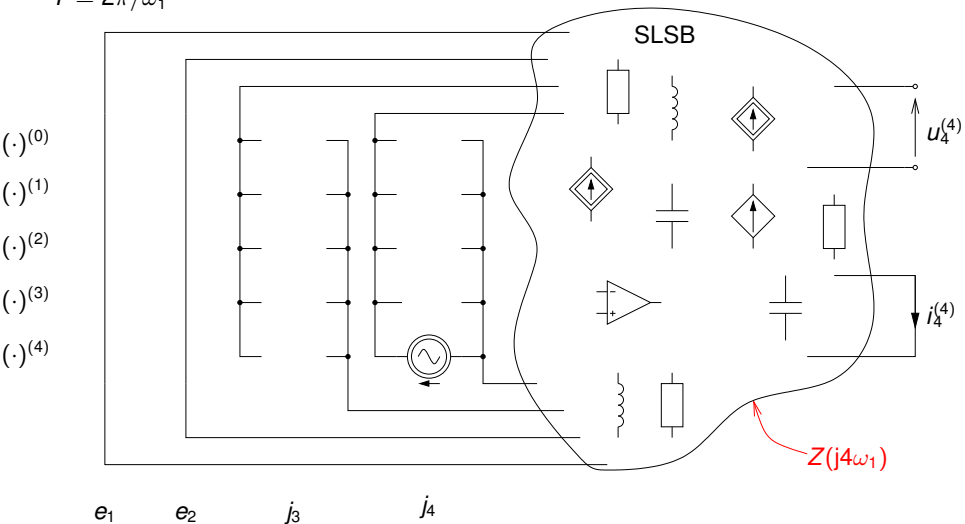
Analiza obwodów *liniowych* prądu okresowego

$$T = 2\pi/\omega_1$$



Analiza obwodów *liniowych* prądu okresowego

$$T = 2\pi/\omega_1$$



Charakterystyki częstotliwościowe

Typowy dotąd schemat przesyłania sygnału:

źródło \longrightarrow odbiornik

zastępujemy schematem bardziej rozbudowanym:

źródło \longrightarrow **kanał transmisyjny** \longrightarrow odbiornik

gdzie kanał (mający wejście i wyjście) jest *czwórnikiem*. Kanał opisany jest *transmitancją*, np. napięciową, zdefiniowaną dla stanu ustalonego przy pobudzeniu sinusoidalnym jako:

$$H_u = U_2 / U_1 \Big|_{I_2 = 0} \quad (\text{zw.-rozv.}), \quad H_{ur} = U_2 / E_T \Big|_{Z_w, Z_0} \quad (\text{rob.})$$

Czwórnik (kanał) zawiera immitancje zależne od częstotliwości (bo $D \longrightarrow j\omega$), więc jego właściwości transmisyjne zależą od ω :

$$H(j\omega) = A(\omega)e^{j\varphi(\omega)}$$

gdzie $A(\omega)$ – ch-ka amplitudowa, $\varphi(\omega)$ – ch-ka fazowa, $H(j\omega)$ – ch-ka amplitudowo-fazowa. Czwórnik działa więc jako **filtr**.

Charakterystyki częstotliwościowe

Typowy dotąd schemat przesyłania sygnału:

źródło \longrightarrow odbiornik

zastępujemy schematem bardziej rozbudowanym:

źródło \longrightarrow **kanał transmisyjny** \longrightarrow odbiornik

gdzie kanał (mający wejście i wyjście) jest *czwórnikiem*. Kanał opisany jest *transmitancją*, np. napięciową, zdefiniowaną dla stanu ustalonego przy pobudzeniu sinusoidalnym jako:

$$H_u = U_2/U_1|_{I_2=0} \quad (\text{zw.-rozw.}), \quad H_{ur} = U_2/E_T|_{Z_w, Z_0} \quad (\text{rob.})$$

Czwórnik (kanał) zawiera immitancje zależne od częstotliwości (bo $D \longrightarrow j\omega$), więc jego właściwości transmisyjne zależą od ω :

$$H(j\omega) = A(\omega)e^{j\varphi(\omega)}$$

gdzie $A(\omega)$ – ch-ka amplitudowa, $\varphi(\omega)$ – ch-ka fazowa, $H(j\omega)$ – ch-ka amplitudowo-fazowa. Czwórnik działa więc jako **filtr**.

Ch-ki częstotliwościowe dla sygnałów okresowych

Przykład – „całkujący” dzielnik napięciowy R - C :

$$H_u(j\omega) = \frac{U_2}{U_1} = \frac{\frac{1}{j\omega C}}{R + \frac{1}{j\omega C}} = \frac{1}{1 + j\omega RC} = \frac{e^{-j\arctan \omega RC}}{\sqrt{1 + (\omega RC)^2}} \stackrel{\omega RC \gg 1}{\approx} \frac{1}{j\omega RC}$$

Dzielenie wskazu przez $j\omega$ odpowiada całkowaniu sygnału.

$$U_2 = H_u(j\omega)U_1 \implies |U_2| = A(\omega) \cdot |U_1| \wedge \arg U_2 = \varphi(\omega) + \arg U_1$$

W przypadku sygnału T -okresowego ($T = \frac{2\pi}{\omega_1}$) stosujemy te wzory dla składowej stałej ($\omega = 0$) i dla każdej harmonicznej oddzielnie, po czym korzystamy z zasady superpozycji.

Ch-ki częstotliwościowe dla sygnałów okresowych

Przykład – „całkujący” dzielnik napięciowy R - C :

$$H_u(j\omega) = \frac{U_2}{U_1} = \frac{\frac{1}{j\omega C}}{R + \frac{1}{j\omega C}} = \frac{1}{1 + j\omega RC} = \frac{e^{-j\arctan \omega RC}}{\sqrt{1 + (\omega RC)^2}} \stackrel{\omega RC \gg 1}{\approx} \frac{1}{j\omega RC}$$

Dzielenie wskazu przez $j\omega$ odpowiada całkowaniu sygnału.

$$U_2 = H_u(j\omega) U_1 \implies |U_2| = A(\omega) \cdot |U_1| \wedge \arg U_2 = \varphi(\omega) + \arg U_1$$

W przypadku sygnału T -okresowego ($T = \frac{2\pi}{\omega_1}$) stosujemy te wzory dla składowej stałej ($\omega = 0$) i dla każdej harmonicznej oddzielnie, po czym korzystamy z zasady superpozycji.

Ch-ki częstotliwościowe dla sygnałów okresowych

Przykład – „całkujący” dzielnik napięciowy R - C :

$$H_u(j\omega) = \frac{U_2}{U_1} = \frac{\frac{1}{j\omega C}}{R + \frac{1}{j\omega C}} = \frac{1}{1 + j\omega RC} = \frac{e^{-j\arctan \omega RC}}{\sqrt{1 + (\omega RC)^2}} \stackrel{\omega RC \gg 1}{\approx} \frac{1}{j\omega RC}$$

Dzielenie wskazu przez $j\omega$ odpowiada całkowaniu sygnału.

$$U_2 = H_u(j\omega) U_1 \implies |U_2| = A(\omega) \cdot |U_1| \wedge \arg U_2 = \varphi(\omega) + \arg U_1$$

W przypadku sygnału T -okresowego ($T = \frac{2\pi}{\omega_1}$) stosujemy te wzory dla składowej stałej ($\omega = 0$) i dla każdej harmonicznej oddzielnie, po czym korzystamy z zasady superpozycji.

Decybele i spółka

$$\log 2 \approx 0,3$$

Zmysły ludzkie reagują na bodźce nieliniowo (logarytmicznie) – prawo Webera-Fechnera (jasność, głośność, częstotliwość).

Bel [B]...

$$1 \text{ dB} = 0,1 \text{ B}$$

... *dziesiętna* logarytmiczna miara stosunku *mocy* $\log \frac{P_2}{P_1}$ [B].

Moc zależy od *kwadratu* amplitudy X_m napięcia/prądu, więc:

$$10 \log \frac{X_{m2}^2}{X_{m1}^2} = 20 \log \frac{X_{m2}}{X_{m1}}$$

- Dwukrotna zmiana amplitudy (o 1 bit) to różnica 6dB.
- Dwukrotna zmiana mocy to różnica 3dB.

Oktawa (dekada)...

... to *dwukrotna* (dziesięciokrotna) zmiana częstotliwości.

Decybele i spółka

$$\log 2 \approx 0,3$$

Zmysły ludzkie reagują na bodźce nieliniowo (logarytmicznie) – prawo Webera-Fechnera (jasność, głośność, częstotliwość).

Bel [B]...

$$1 \text{ dB} = 0,1 \text{ B}$$

... *dziesiętna* logarytmiczna miara stosunku *mocy* $\log \frac{P_2}{P_1}$ [B].

Moc zależy od *kwadratu* amplitudy X_m napięcia/prądu, więc:

$$10 \log \frac{X_{m2}^2}{X_{m1}^2} = 20 \log \frac{X_{m2}}{X_{m1}}$$

- Dwukrotna zmiana amplitudy (o 1 bit) to różnica 6dB.
- Dwukrotna zmiana mocy to różnica 3dB.

Oktawa (dekada)...

... to *dwukrotna* (dziesięciokrotna) zmiana częstotliwości.

Decybele i spółka

$$\log 2 \approx 0,3$$

Zmysły ludzkie reagują na bodźce nieliniowo (logarytmicznie) – prawo Webera-Fechnera (jasność, głośność, częstotliwość).

Bel [B]...

$$1 \text{ dB} = 0,1 \text{ B}$$

... *dziesiętna* logarytmiczna miara stosunku *mocy* $\log \frac{P_2}{P_1}$ [B].

Moc zależy od *kwadratu* amplitudy X_m napięcia/prądu, więc:

$$10 \log \frac{X_{m2}^2}{X_{m1}^2} = 20 \log \frac{X_{m2}}{X_{m1}}$$

- Dwukrotna zmiana amplitudy (o 1 bit) to różnica 6dB.
- Dwukrotna zmiana mocy to różnica 3dB.

Oktawa (dekada)...

... to *dwukrotna* (dziesięciokrotna) zmiana częstotliwości.

Asymptotyczne charakterystyki częstotliwościowe

- transmitancja układu SLS jest *wymierną* funkcją $j\omega$
- zakładamy ew. zera w 0 i bieguny *rzeczywiste pojedyncze*
- rysujemy *przybliżony* wykres *logarytmicznej* charakterystyki amplitudowej [dB] (wykres Bodego)

Wpływ jednego (pojedynczego) bieguna (czynnika $1/(1 + j\omega\tau)$):

$$A_{dB}(\omega) = 20 \log |H(j\omega)| = -20 \log \sqrt{1 + \omega^2\tau^2}$$

$$A_{dB}(2\pi f) \approx \begin{cases} 0, & \omega\tau \ll 1 \\ -20 \log f - 20 \log(2\pi\tau), & \omega\tau \gg 1 \end{cases} \quad [\text{dB}]$$

Wykres rysujemy w skali logarytmicznej na obu osiach (f i A_{dB}), doprowadzając do przecięcia obie półproste.

Dla $\omega\tau \gg 1$ zmiana częstotliwości o **dekadę** ($f_2/f_1 = 10 \Rightarrow \log(f_2/f_1) = 1$) zmienia A_{dB} o 20 dB, więc nachylenie półprostej wynosi **-20 dB/dek**. Zmiana częstotliwości o **oktawę** ($f_2/f_1 = 2 \Rightarrow \log(f_2/f_1) \approx 0,3$) zmienia A_{dB} o $20 \cdot 0,3$ dB, więc nachylenie tej półprostej wynosi (innymi słowy) **-6 dB/okt**.

Asymptotyczne charakterystyki częstotliwościowe

- transmitancja układu SLS jest *wymierną* funkcją $j\omega$
- zakładamy ew. zera w 0 i bieguny *rzeczywiste pojedyncze*
- rysujemy *przybliżony* wykres *logarytmicznej* charakterystyki amplitudowej [dB] (wykres Bodego)

Wpływ jednego (pojedynczego) bieguna (czynnika $1/(1 + j\omega\tau)$):

$$A_{dB}(\omega) = 20 \log |H(j\omega)| = -20 \log \sqrt{1 + \omega^2\tau^2}$$

$$A_{dB}(2\pi f) \approx \begin{cases} 0, & \omega\tau \ll 1 \\ -20 \log f - 20 \log(2\pi\tau), & \omega\tau \gg 1 \end{cases} \quad [\text{dB}]$$

Wykres rysujemy w skali logarytmicznej na obu osiach (f i A_{dB}), doprowadzając do przecięcia obie półproste.

Dla $\omega\tau \gg 1$ zmiana częstotliwości o **dekadę** ($f_2/f_1 = 10 \Rightarrow \log(f_2/f_1) = 1$) zmienia A_{dB} o 20 dB, więc nachylenie półprostej wynosi **-20 dB/dek.** Zmiana częstotliwości o **oktawę** ($f_2/f_1 = 2 \Rightarrow \log(f_2/f_1) \approx 0,3$) zmienia A_{dB} o $20 \cdot 0,3$ dB, więc nachylenie tej półprostej wynosi (innymi słowy) **-6 dB/okt.**

Asymptotyczne charakterystyki częstotliwościowe

- transmitancja układu SLS jest *wymierną* funkcją $j\omega$
- zakładamy ew. zera w 0 i bieguny *rzeczywiste pojedyncze*
- rysujemy *przybliżony* wykres *logarytmicznej* charakterystyki amplitudowej [dB] (wykres Bodego)

Wpływ jednego (pojedynczego) bieguna (czynnika $1/(1 + j\omega\tau)$):

$$A_{dB}(\omega) = 20 \log |H(j\omega)| = -20 \log \sqrt{1 + \omega^2\tau^2}$$

$$A_{dB}(2\pi f) \approx \begin{cases} 0, & \omega\tau \ll 1 \\ -20 \log f - 20 \log(2\pi\tau), & \omega\tau \gg 1 \end{cases} \quad [\text{dB}]$$

Wykres rysujemy w skali logarytmicznej na obu osiach (f i A_{dB}), doprowadzając do przecięcia obie półproste.

Dla $\omega\tau \gg 1$ zmiana częstotliwości o **dekadę** ($f_2/f_1 = 10 \implies \log(f_2/f_1) = 1$) zmienia A_{dB} o 20 dB, więc nachylenie półprostej wynosi **-20 dB/dek**. Zmiana częstotliwości o **oktawę** ($f_2/f_1 = 2 \implies \log(f_2/f_1) \approx 0,3$) zmienia A_{dB} o $20 \cdot 0,3$ dB, więc nachylenie tej półprostej wynosi (innymi słowy) **-6 dB/okt**.